

$\mathbb{G}_m$ -действия

$\mathbb{G}_m(R) = R^\times$

$\mathbb{G}_m = \text{Spec } \mathbb{Z}[t, t^{-1}]$

•  $\mathbb{G}_m$  действует на модуле  $V \Leftrightarrow V = \bigoplus_{i \in \mathbb{Z}} V_i$

$\mathbb{Z} = \text{Hom}(\mathbb{G}_m, \mathbb{G}_m) \rightsquigarrow \forall t \in \mathbb{G}_m \forall v \in V$   
 $t \cdot v = t^i v$   
 ↑  
 обычные умножение

•  $\mathbb{G}_m$  действует на гладкой алгебраической группе  $G$

$L = \{g \in G \mid t \cdot g = g \forall t \in \mathbb{G}_m\} = G^{\mathbb{G}_m}$   
 ↳ точки,  $\forall S \dots$

$P = \{g \in G \mid \lim_{t \rightarrow 0} t \cdot g \text{ существует}\}$

$\mathbb{G}_m \longrightarrow G$   
 $t \longmapsto t \cdot g$   
 Когда его можно продолжить до  $\mathbb{A}^1 \longrightarrow G$ ?

$P^- = \{g \in G \mid \lim_{t \rightarrow \infty} t \cdot g \text{ существует}\}$

Тогда можно доказать, что

$L, P, P^-$  — гладкие замкнутые подгруппы

$L = P \cap P^-$

$P \longrightarrow L$  — гомоморфизм групп,  $\mathcal{U}$  — его ядро  
 $g \longmapsto \lim_{t \rightarrow 0} t \cdot g$

$P^- \longrightarrow L$  — тоже гомоморфизм,  $\mathcal{U}^-$  — его ядро  
 $g \longmapsto \lim_{t \rightarrow \infty} t \cdot g$

$\mathcal{U} \cdot L \cdot \mathcal{U}^-$  — открытая подсхема в  $G$

Примеры •  $G = SL_2$ ,  $t$  действует сопряжением элементом  $\begin{pmatrix} t & 0 \\ 0 & 1 \end{pmatrix}$

$\begin{pmatrix} t & 0 \\ 0 & 1 \end{pmatrix} \begin{pmatrix} a & b \\ c & d \end{pmatrix} \begin{pmatrix} t^{-1} & 0 \\ 0 & 1 \end{pmatrix} = \begin{pmatrix} ta & tb \\ c & d \end{pmatrix} \begin{pmatrix} t^{-1} & 0 \\ 0 & 1 \end{pmatrix} = \begin{pmatrix} a & tb \\ t^{-1}c & d \end{pmatrix}$

$L = \left\{ \begin{pmatrix} a & 0 \\ 0 & d \end{pmatrix} \right\}$ ,  $P = \left\{ \begin{pmatrix} a & b \\ 0 & d \end{pmatrix} \right\}$ ,  $P \longrightarrow L$ ,  $\mathcal{U} = \left\{ \begin{pmatrix} 1 & b \\ 0 & 1 \end{pmatrix} \right\}$   
 $\begin{pmatrix} a & b \\ 0 & d \end{pmatrix} \longmapsto \begin{pmatrix} a & 0 \\ 0 & d \end{pmatrix}$

•  $G = SL_{p+q}$ ,  $t$  действует  $\left( \begin{array}{c|c} t \cdot 1_p & 0 \\ \hline 0 & 1_q \end{array} \right)$

Ответ такой же, только матрицы блочные

•  $G = SL_3$ ,  $t$  действует  $\begin{pmatrix} t^2 & 0 & 0 \\ 0 & t & 0 \\ 0 & 0 & 1 \end{pmatrix}$

Тогда  $L = \left\{ \begin{pmatrix} * & 0 & 0 \\ 0 & * & 0 \\ 0 & 0 & * \end{pmatrix} \right\}$ ,  $P = \left\{ \begin{pmatrix} * & * & * \\ 0 & * & * \\ 0 & 0 & * \end{pmatrix} \right\}$ ,  $U = \left\{ \begin{pmatrix} 1 & * & * \\ 0 & 1 & * \\ 0 & 0 & 1 \end{pmatrix} \right\}$

Любая параболическая в редуктивной группе так получается  
 $G$ -изотропка  $\Leftrightarrow$  на ней существует нетривиальное действие  $G_m$

Действие  $G_m \Leftrightarrow$  отображение  $G_m \rightarrow \text{Aut}(G)$  <sup>здесь  $G$  редуктивна.</sup>  
 $\Leftrightarrow$  отображение  $G_m \rightarrow G/\text{Cent}(G)$ , поскольку  $G_m$  связна  
 $\Leftrightarrow$  в  $G/\text{Cent}(G)$  есть подгруппа типа  $G_m$ .

$G/\text{Cent}(G)$  действует на проективной <sup>надной</sup>  $X$

$\rightarrow G_m$  действует на  $X$

**Теорема** (Бьялыницки-Бирупа) Тогда на  $X$  есть фильтрация замкнутыми подмногообразиями  $X = X_0 \supset X_1 \supset X_2 \supset \dots \supset X_n \supset X_{n+1} = \emptyset$

т.ч.  $X_i \supset X_{i+1}$ ,  $Y_i$  — неприводимые компоненты  $X \setminus G_m$   
 $X_i \setminus X_{i+1} \xrightarrow{\lim_{t \rightarrow 0} t \cdot x} Y_i$   
 $\uparrow \mathbb{A}^1$  — аффинное расслоение (они автоматически гладкие)  
 $\downarrow$  с выделенным сечением

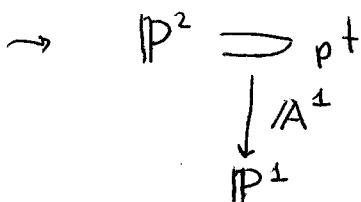
(В частности, отсюда следует, что  $M(X) = \bigoplus M(Y_i) \{r_i\}$ )

**Пример**  $t \cdot [x_0 : x_1 : x_2] = [x_0 : x_1 : tx_2]$  — действие  $G_m$  на  $\mathbb{P}^2$

Неподвижные точки: ①  $x_2 = 0$   $[x_0 : x_1 : 0] \mathbb{P}^1 \subset \mathbb{P}^2$

②  $x_0 = x_1 = 0$   $[0 : 0 : 1] pt \subset \mathbb{P}^2$

$$\lim [x_0 : x_1 : tx_2] = \begin{cases} [x_0 : x_1 : 0], & \text{если } x_0 \neq 0 \text{ или } x_1 \neq 0 \\ [0 : 0 : 1], & \text{если } x_0 = x_1 = 0 \end{cases}$$



Если заменить  $t$  на  $t^{-1}$ , получается двойственная фильтрация

$$\begin{array}{ccc} \sim & \mathbb{P}^2 & \supset \mathbb{P}^1 \\ & \downarrow \mathbb{A}^1 & \\ & \mathbb{P}^1 & \end{array}$$

Для простоты считаем, что  $G$  — приведённая, т.е.  $\text{Cent}(G) = 1$

$\hookrightarrow \text{Cent} \subseteq G \rightarrow \text{Cent}$  действует на  $\text{Lie } G$

$$\text{Lie } G = \underbrace{\text{Lie } \mathfrak{u}^-}_{\substack{\text{компоненты} \\ \text{степени} \leq -1}} \oplus \underbrace{\text{Lie } \mathfrak{L}}_{\substack{\text{компоненты} \\ \text{степени } 0}} \oplus \underbrace{\text{Lie } \mathfrak{u}^+}_{\substack{\text{компоненты} \\ \text{степени} \geq 1}}$$

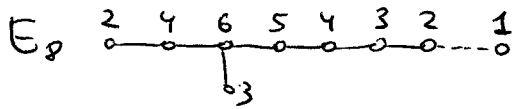
$\rightsquigarrow$  структура градуированной алгебры  $\mathfrak{L}$

Как посчитать количество этих компонент?

Параболическое подгруппе отвечает  $\mathcal{Y} \subseteq \mathcal{D}$  — диагр. Дыкинса

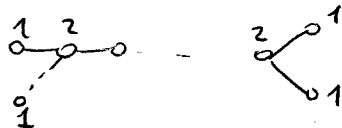
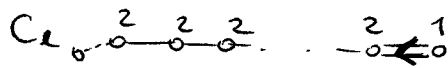
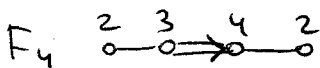
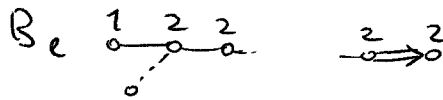
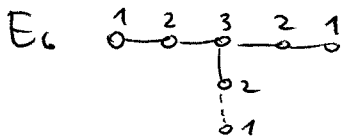
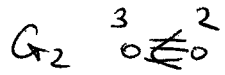
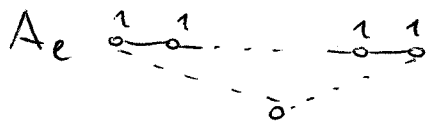
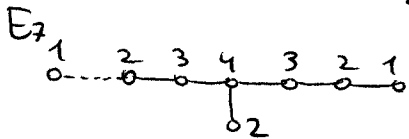
$$\sum_{i \in \mathcal{Y}} m_i(\tilde{\alpha}) = \text{количество компонент}$$

(если выкинуть  $\mathcal{Y}$ , остается диаграмма Дыкинса для  $L$ )



Удвоенное значение в вершине =  $\sum$  значения соседних

$$\tilde{\alpha} = 2\alpha_1 + 3\alpha_2 + 4\alpha_3 + 6\alpha_4 + 5\alpha_5 + 4\alpha_6 + 3\alpha_7 + 2\alpha_8$$



Интересные случаи, когда есть только одна компонента

$$\Leftrightarrow \text{Lie } \mathfrak{u} \text{ абелев} \Leftrightarrow \mathfrak{u} \text{ абелев} \Leftrightarrow$$

$\bullet \mathcal{Y}$  состоит из одного элемента, и при нем стоит 1.

Пусть  $z \in \mathbb{R}^*$

$$\text{Lie } G = \text{Lie } \mathfrak{u}^- \oplus \text{Lie } \mathfrak{L} \oplus \text{Lie } \mathfrak{u}^+$$

$$\underbrace{\quad}_{\mathfrak{V}^-}$$

$$\underbrace{\quad}_{\mathfrak{V}^+}$$

$$[[V^-, v^+], v^-] \longrightarrow V^-$$

$$[[V^+, v^-], v^+] \longrightarrow V^+$$

Всю алгебру  $\mathfrak{L}$  можно восстановить по этим тримейным операциям.  
Из тождества Якоби следует, что они удовлетворяют какому-то аксиомам

$\sim (V^-, v^+)$  — йорданова пара

Простая йорданова пара — та, у которой нет нетривиального фактора

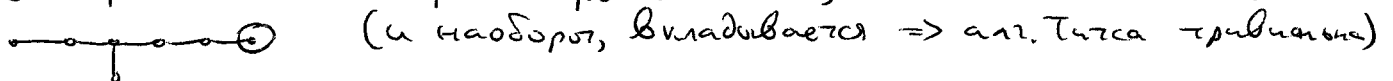
Простые йордановы пары  $\leftrightarrow$  простые алг. группы вместе с  $\rho$  и  $\mathcal{U}$ , где  $\mathcal{U}$  — абелев (тогда  $L = \text{Aut}(V^-, v^+)^{\circ}$ )

Классификация  
~~существование~~ всех простых групп сводится к классификации анизотропных групп.

Иногда по простой группе  $H$  удается построить изотропную  $G$  (анизотропной)

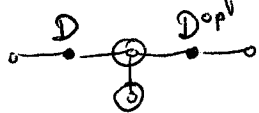
$$\text{такую, что } H = L / \text{Cent}(L)$$

Пример Анизотропная группа типа  $E_6$  с тривиальной алгеброй Титса (неприводимое 27-мерное представление) вкладывается в  $E_7$ :



Аналогичные утверждения можно сформулировать для всех „картинок“

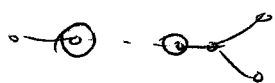
Условие: сумма алгебр Титса смедей ~~любой~~ обведенной вершины равна 0.



( $\mathbb{D}$  — это сфера  $\mathbb{S}^1$ )

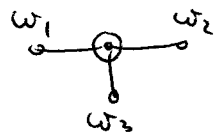
$SL_2(\mathbb{D}) \times SL_2(\mathbb{D}^{\circ p}) / \dots$  вкладывается в изотропную  $E_6$ .

т.е. для картинки



условие на  $H$ , чтобы она

могла быть анизотропной эдром состоит в том, что



$$[(\text{End } V(\omega_1))_{\mathfrak{g}}] + [(\text{End } V(\omega_2))_{\mathfrak{g}}] + [(\text{End } V(\omega_3))_{\mathfrak{g}}] = 0 \text{ в } \text{Br}(R)$$

Обобщения:

$$\textcircled{1} G_1 \times \dots \times G_m =: T$$

$$\text{тогда } V = \bigoplus_{\chi \in \chi^*(T)} V_{\chi} \quad V_{\chi} \neq 0 \rightsquigarrow \chi - \text{вес } V$$

В случае  $V = \text{Lie } G$   $\chi$  — корень

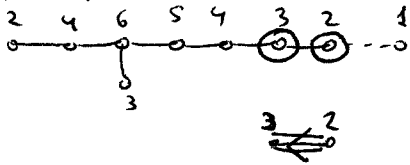
Если  $T$  — макс. тор в расщепленной группе, то это обычные корни или 0

В общем случае это называется относительные корни

Они не обязательно обрезают систему корней

Если  $R$  — локальное кольцо,  $T$  — максимальный среди расщепленных, то это система корней (или  $\text{Br}(R)$ )

Например:



относительная система корней  $G_2$

$V_\alpha$  — одномерные для длинных, 27-мерные для коротких

$$[V_\alpha, V_\beta] \subseteq V_{\alpha+\beta}, [V_\alpha, V_{-\alpha}], V_\alpha \subseteq V_\alpha$$

На  $(V_\alpha)$  возникает структура "жорданова типа" — набор дилатейных и триалейных операций

② Вместо  $G_m$  можно рассмотреть  $\mathfrak{m}$

Даже в анизотропных группах часто встречается нецентральный  $\mathfrak{m}$

**Пример**  $O(q)$   $G_m \leq O(q) \Leftrightarrow q$  изотропна (отсутствует  $H$ )  
 $G_2$   $\mathfrak{m}_2$   $\mathfrak{m}_2$  водит всегда! Достаточно взять любое отражение.

- $F_4(E_6)$   $\mathfrak{m}_3$
- $E_7$   $\mathfrak{m}_4$
- $E_8$   $\mathfrak{m}_5$

③ Вместо  $G_m$  можно рассмотреть одномерный неразветвленный тор:

$S/R$  — квадратичное расширение (эталное)

$$R_{S/R}(G_m)^{(1)} = \{s \in S \mid N(s) = 1\}$$

↑  
неформально

т.е. вместо гипербола берется окружность

Например,  $\mathbb{C}/\mathbb{R}$ ;  $R_{\mathbb{C}/\mathbb{R}}(G_m)^{(1)}$  — модуль на  $V$

= структура Ходжа на  $V$

В анизотропных группах часто водится такая штука

октоинионы:

$$d, \beta, \gamma \quad F \xrightarrow{1} F(\sqrt{d}) \xrightarrow{2} \begin{pmatrix} d, \beta \\ F \end{pmatrix} \xrightarrow{4} \langle d, \beta, \gamma \rangle \xrightarrow{8} \text{— аналог т. Лагранжа}$$